

# Écoulements radiatifs

*Chantal Stehlé*

*LERMA, Observatoire de Paris, CNRS, UPMC*

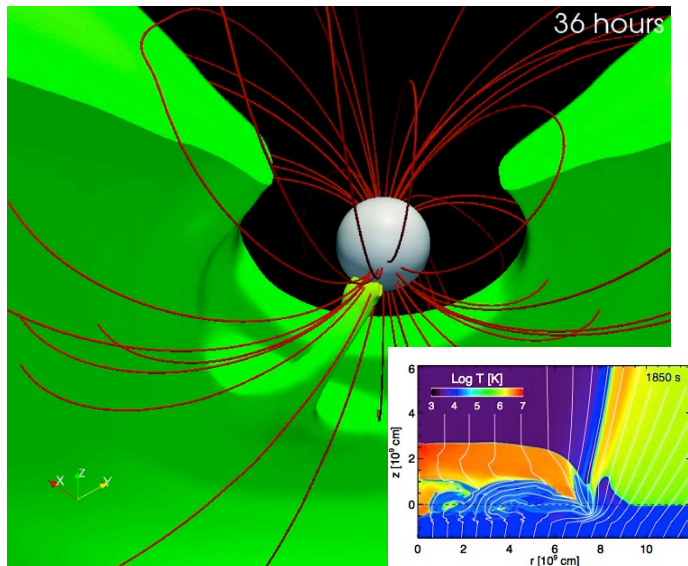
Workshop PNPS « astrophysique de laboratoire »  
15-16 novembre 2016, ENS Lyon

# RADIATIVE FLOWS

Radiation impacts the structure of the plasma

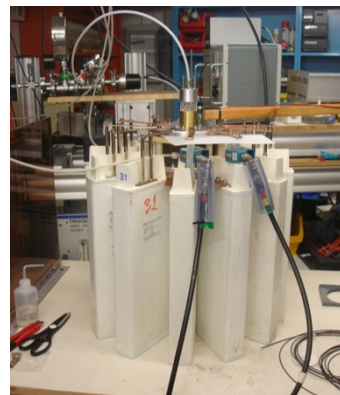
Usually in hot environments

Astrophysics



*Credit S. Orlando (Obs. Palermo)*

Laboratory  
(high energy density)



*Credit J. Larour (LPP)*



*Credit LMJ @ CEA*

# Scaling ? (Castor 2006)

## Boltzmann Number

$$Bo = \frac{\text{Enthalpy Flux}}{\text{Radiative Flux}}$$

Radiation Flux dominated flow:  
 **$Bo \ll 1$**

## Optical depth

$$\tau = \kappa \rho L$$

Optically thin :  **$\tau \ll 1$**   
Optically thick :  **$\tau \gg 1$**

## Optically thin

$$\begin{aligned} \text{Cooling rate, } \mathcal{G} &= 4 \pi \kappa_{\text{Planck}} B \quad (\text{if LTE}) \\ &= \Lambda(T) \quad (\text{non LTE}) \quad (\text{erg/cm}^3/\text{s}) \end{aligned}$$

$$\text{Cool} = \frac{u t_{\text{cool}}}{L} = \frac{1}{4} \frac{Bo}{\kappa_p \rho L}$$

	L (cm)	N (cm <sup>-3</sup> )	T (K)	U (cm/s)	Bo	τ	Cool	Re	M
Stell. Atm.	10 <sup>9</sup>	10 <sup>15</sup>	10 <sup>4</sup>	10 <sup>7</sup>	<b>0.06</b>	<b>1</b>	<b>0.001</b>	<b>5 10<sup>12</sup></b>	<b>10</b>
Stell. wind	10 <sup>12</sup>	10 <sup>11</sup>	10 <sup>5</sup>	10 <sup>8</sup>	<b>3 10<sup>-6</sup></b>	<b>0.01</b>	<b>3 10<sup>-5</sup></b>	<b>5 10<sup>10</sup></b>	<b>40</b>
Short pulse laser	0.001	10 <sup>24</sup>	10 <sup>7</sup>	10 <sup>8</sup>	<b>0.3</b>	<b>0.01</b>	<b>5</b>	<b>10<sup>3</sup></b>	<b>4</b>

*Castor : « the odds that a given astronomical environment can be simulated in the laboratory are not good. However, the odds that a given laboratory environment has an analogue in astronomy are much better. »*

## No SCALING FOR SPECTROSCOPY

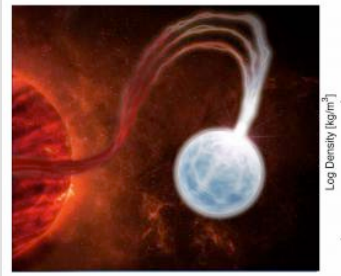
### 2 approaches :

- *Approximate scaling*

Accretion

1) on white dwarfs

*(Falize & al.)*



2) on T-Tauri stars in the lab. *(Ciardi & al.)*,  
Effect of radiation cooling, instabilities,  
collimation by B.

- *Study of physical processes in the presence of radiation & link to astrophysical situations*

Radiative shocks : accretion on  
Young Stars, SN breakthrough ..;  
*(Stehlé, Michaut, Larour)*

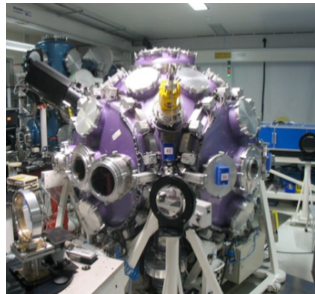
Rad. mediated instabilities

1) Vishniak *(Michaut et al.)*

2) Rayleigh Taylor *(Hungtigton)*  
*of interest for SN explosion and  
their link to SNR*

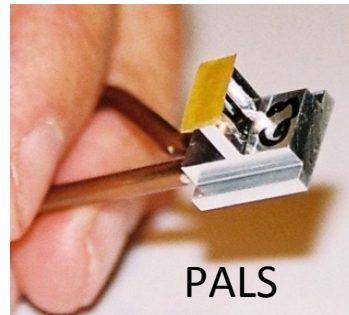
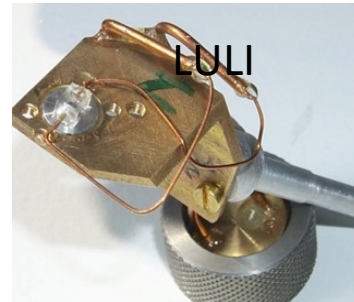
# 4 piliers

kJ, ns)



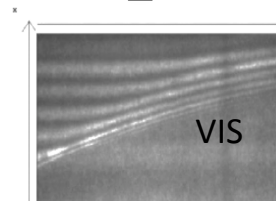
$10^{14} - 10^{15} \text{ W/cm}^2$

cibles

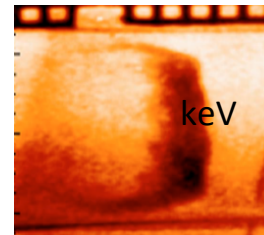


mm

Diags

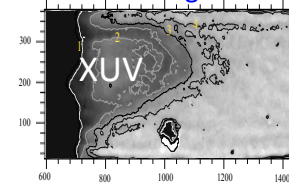


Bouquet et al, 2004,



Rheighart et al. 2006,

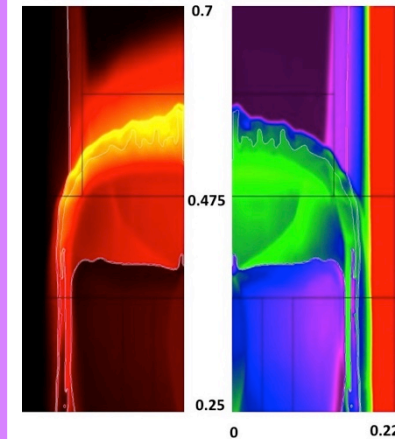
Rheighart et al. 2006,



Chaulagain. PhD thesis  
2015

Multi  $\lambda$

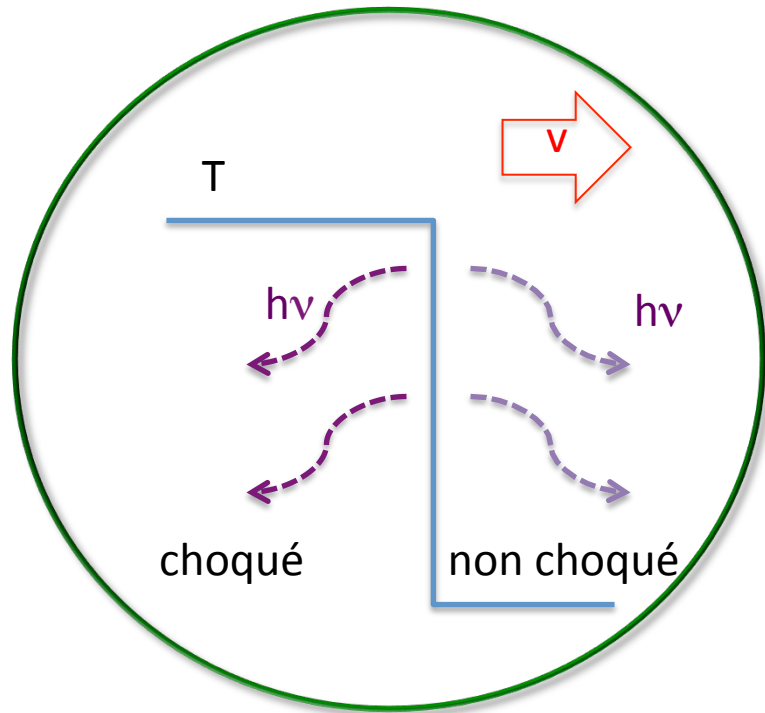
Simulations  
& theory



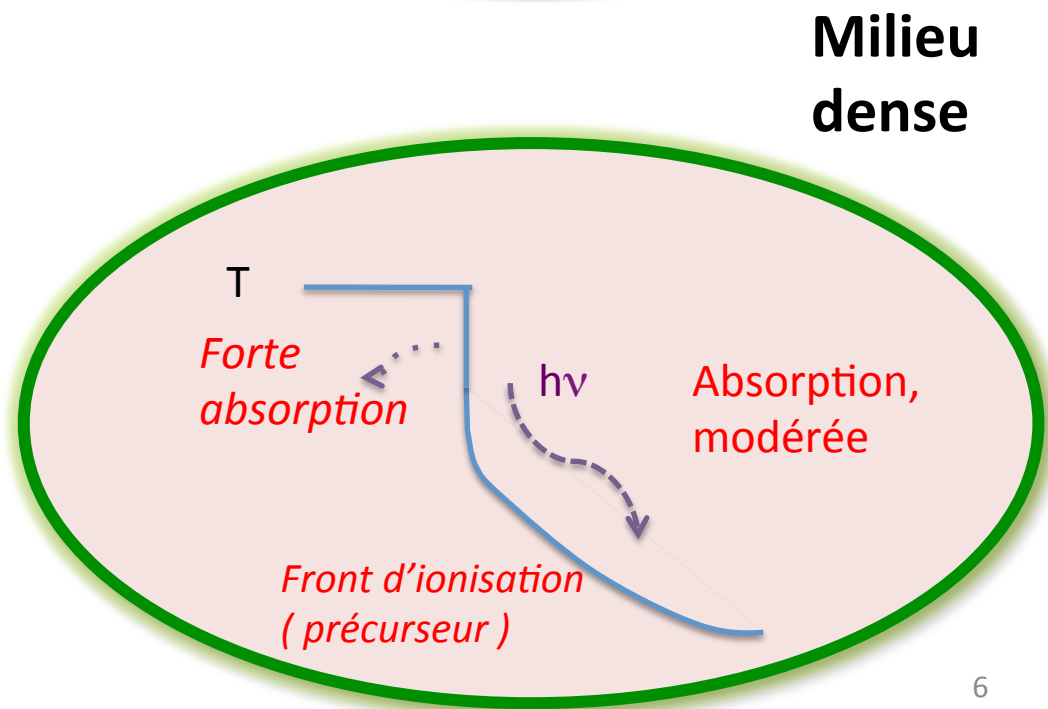
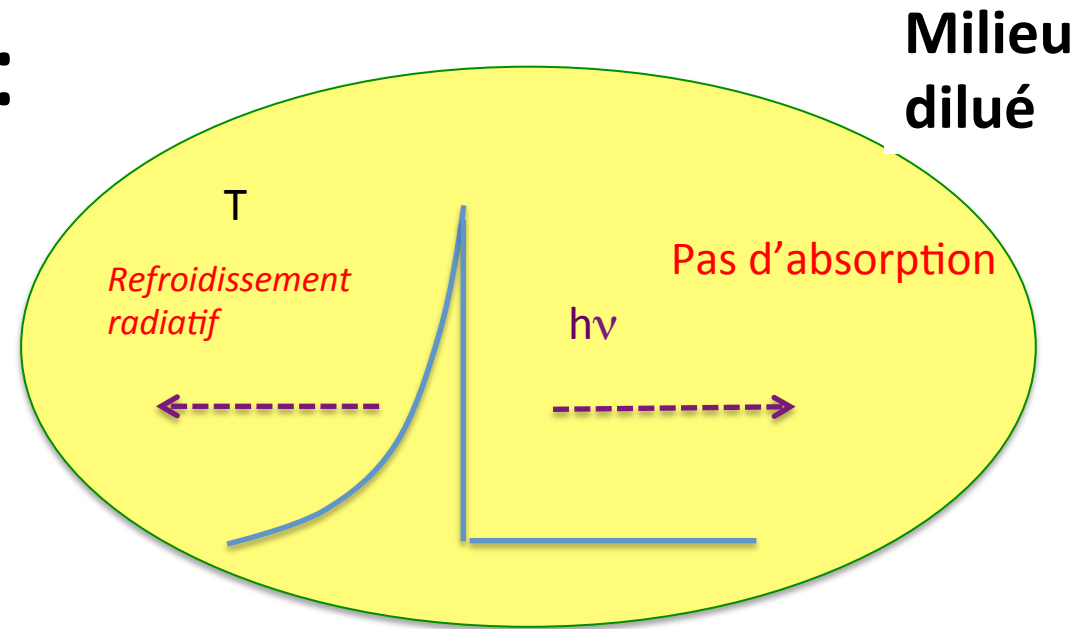
Cotello et al. 2015,

2D RMHD

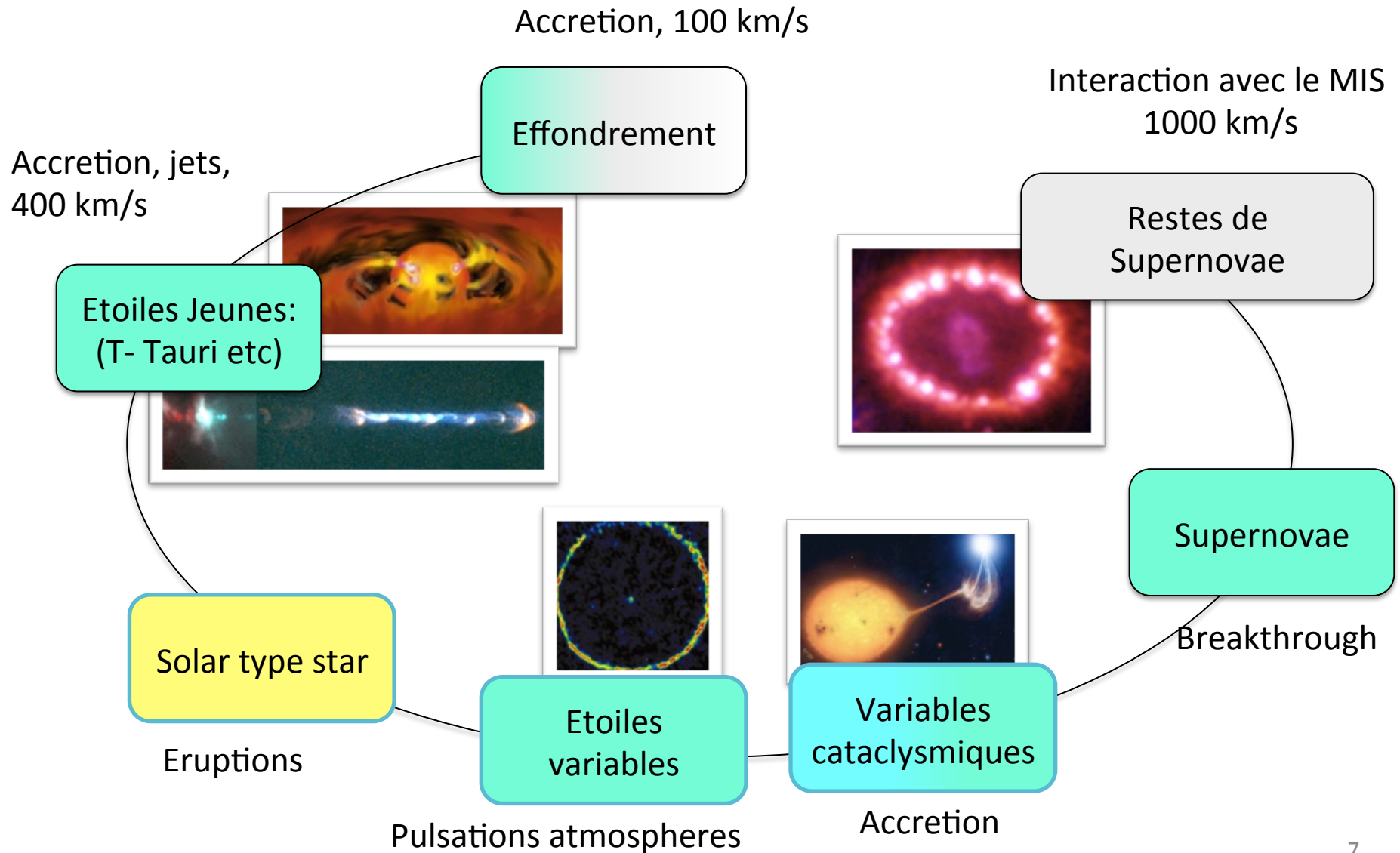
# Chocs radiatifs: 2 familles



*et toute une classification  
pour chacune de ces familles*



# Durant l'évolution stellaire





## 1D setup



## France : précurseur radiatif

**LULI en 2000** (100J @  $3\omega$ ) Xe  $\sim$  0.2 bar), **65 km/s**  
Analyse du **précurseur radiatif**  
*Fleury 2002, Bouquet 2004*, + autres exp.

### Désaccord entre simus 1D et expérience :

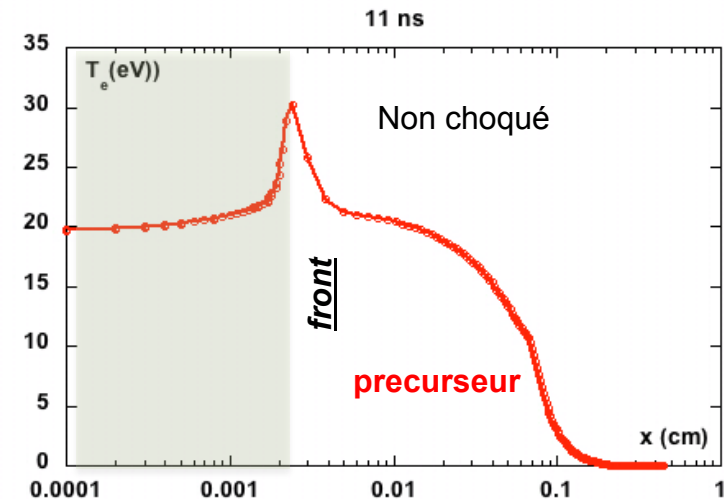
- Simus 2D : FCI2 et post traitement en transfert radiatif (*Leygnac 2006*).

### PALS 2005-2015 (100 J @ $3\omega$ ): 60 km/s

- Pertes radiatives aux bords du tube
- Régime quasi stationnaire

### Simus 2D HERACLES (*Gonzalez 2007, 2009*)

- Estimation de l'albedo des parois



Lasers kJ :  
LULI , PALS

## Accrétion protostellaire

- CTT (*Matsakos et al. 2013*)
  - > 2D (*Matsakos et al. 2013, PLUTO*)
  - > Couplage rad. (*de Sa, Chieze, ASTROLAB*)
- coeurs pré-stellaires (*Commerçon et al 2011*)



plus grandes vitesses,

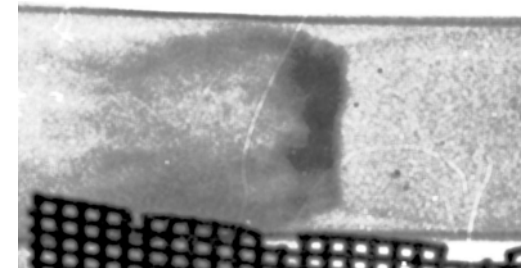
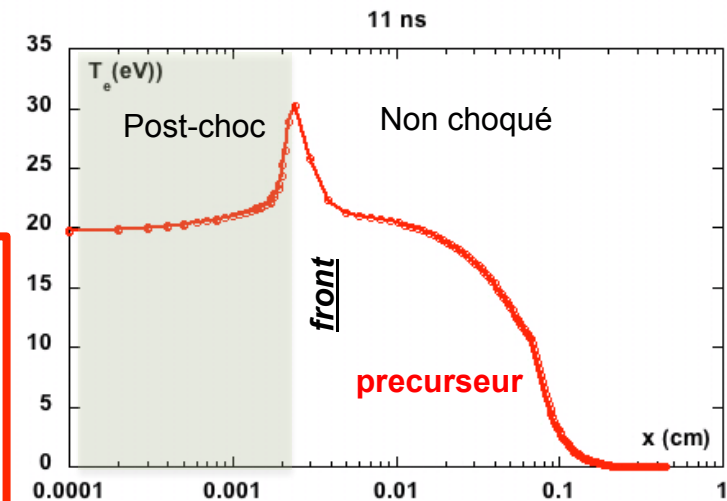
## USA : post choc

### OMEGA

1) Etude du post choc par radiographie X : le front de choc reste très collé au piston -> **collapse radiatif**  
Simulations 1D (Hyades ) et 2D (FCI2) (*Reighard et al 2006*), *Suzuki Vidal et al. à venir*

2) Effet du rayonnement sur les parois (*Doss et al 2009*)

Développement du centre CRASH pour simuler les chocs radiatifs (*Van der Holst 2011, Fryxell et al 2012*)



Radiographie éclair @ OMEGA

Laser multi kJ :  
OMEGA

## 2D setup

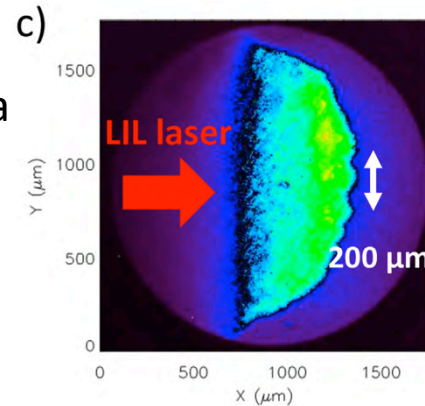
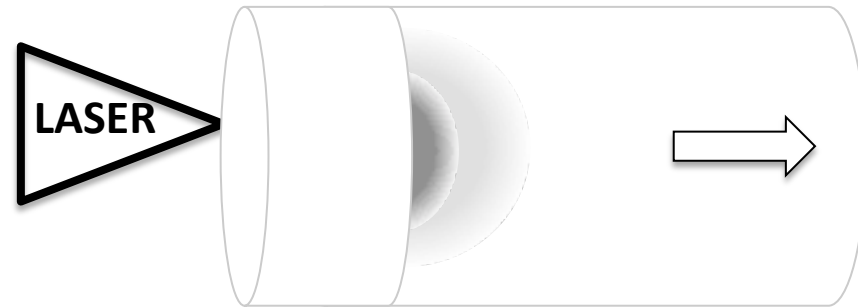
### LIL & GEKKO (curvature effect)

LIL (4-8 kJ at  $\omega$ ), 160 km/s Kr, Xe (50 mbar)  
(*Michaut et al. ILP report 2015, Casner 2015*)

GEKKO XII, 1 kJ at  $3\omega$ , 200 km/s Xe (50 mba)  
(*Diziere 2011*)

**The shock is curved**

(also noted in earlier studies at LULI)



### ORION (post shock & precursor)

1.6 kJ at  $3\omega$ , 80 km/s Kr, Xe (0.3 bar, Ar, Kr)

**Post shock & precursors identified**

Instabilities, radiative collapse

(*Suzuki Vidal 2016*)

Lasers multi kJ :  
LIL, GEKKO,  
ORION

# Perspectives

## Chocs isolés – approfondissement

- Explorer les régimes radiatifs (-> transition vers chocs optiquement minces et refroidis notamment -> *jets stellaires par ex.* )
- Mesure de  $T_e$  mais aussi  $T_i$  *cad mieux résoudre le choc .*
- Benchmark complet
- Signatures **spectrales** (*et test codes*)
- **Instabilités + rayonnement** (*SN notamment* )
- **Effet de B.**

## Chocs et interactions

- Interaction de chocs (PALS, *ORION*)
- *Chocs sur obstacle (LMJ à venir)*



ORION's chamber

# Forces et opportunités

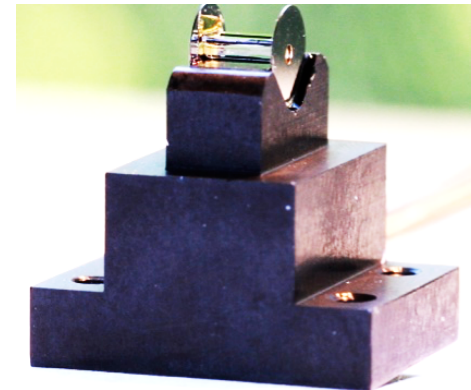
## Une dizaine de groupes (théorie et expérience)

France : LULI, LERMA, CEA-DAM, CEA-AIM, LUTH, LPP...

Etranger : Rochester, LLNL, PALS, GEKKO, Imperial College, IFN ...

De nombreuses thèses expérimentales et numériques

- Filière cibles spécifiques (*GEPI*)
- Dévts numériques en cours (*transfer 3D, IRIS; HADES 2D*)
- Table top-experiment (*LPP*).
- Diagnostiques originaux (*radio éclair à 21 nm*)
  
- Besoin d'installations kJ
- Perspectives LIL/LMJ
  
- Confrontation observationnelles : *pour l'accrétion, ATHENA, SPIROU, ARAGO*



*Cibles : GEPI,  
LERMA*